

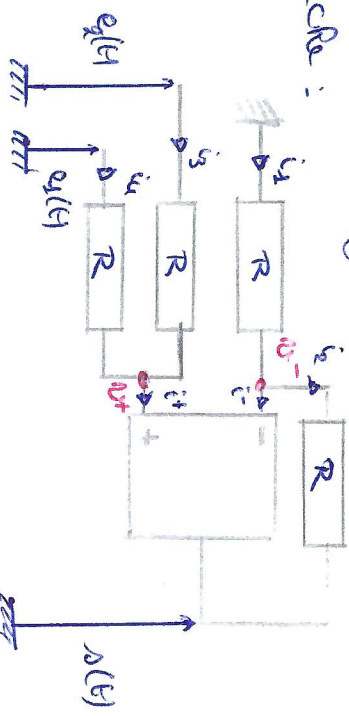
TD n°2 : ALI et réactions

Evaluation des rapports de sensibilité de l'ALI

Théorème

Exercice I - Opérations dimensionnelles

Soyons que deux systèmes donnés. Étudions le système de gauche :



On suppose l'amplificateur idéal : $\varepsilon = v^+ - v^- = 0$.

On sait que, selon la loi des noeuds, expression on obtient alors
alors donne que $i^+ = i^- = 0$:

$$* \quad \frac{v^+ - v^-}{R} = \frac{i^+ - i^-}{R} \Rightarrow v^- = \frac{v^+ + i^+}{2}$$

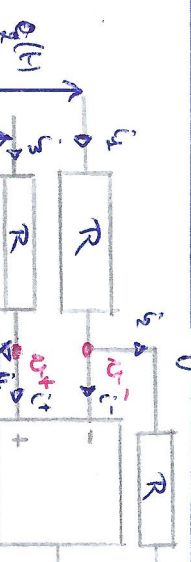
$$* \quad \frac{e_2 - v^+}{R} + \frac{e_2 - v^-}{R} = 0 \Rightarrow e_2 + e_1 = 2v^+ \Leftrightarrow v^+ = \frac{e_1 + e_2}{2}$$

Alors : $v^+ = v^- \Rightarrow e_1 = e_2 + s$

$$\Rightarrow s = e_2 - e_1$$

Le montage est donc un inverseur de tension.

Alors : $v^+ - v^- = 0 \Leftrightarrow v^+ = v^- \Leftrightarrow s = e_2 + e_1$
Ce montage est donc un sommeur de tension.



- On suppose l'ALI idéal : $\varepsilon = 0 = v^+ - v^- \Leftrightarrow v^+ = v^-$
- Sachant que $i^+ = i^- = 0$, appiquons la loi des noeuds en summeur de potentiel :

$$\circ \quad \frac{e_2 - v^-}{R} = \frac{v^- - s}{R} \Rightarrow v^- = \frac{e_2 + s}{2}$$

$$\circ \quad \frac{e_1 - v^+}{R} = \frac{v^+ - s}{R} \Rightarrow v^+ = \frac{e_1 + s}{2}$$

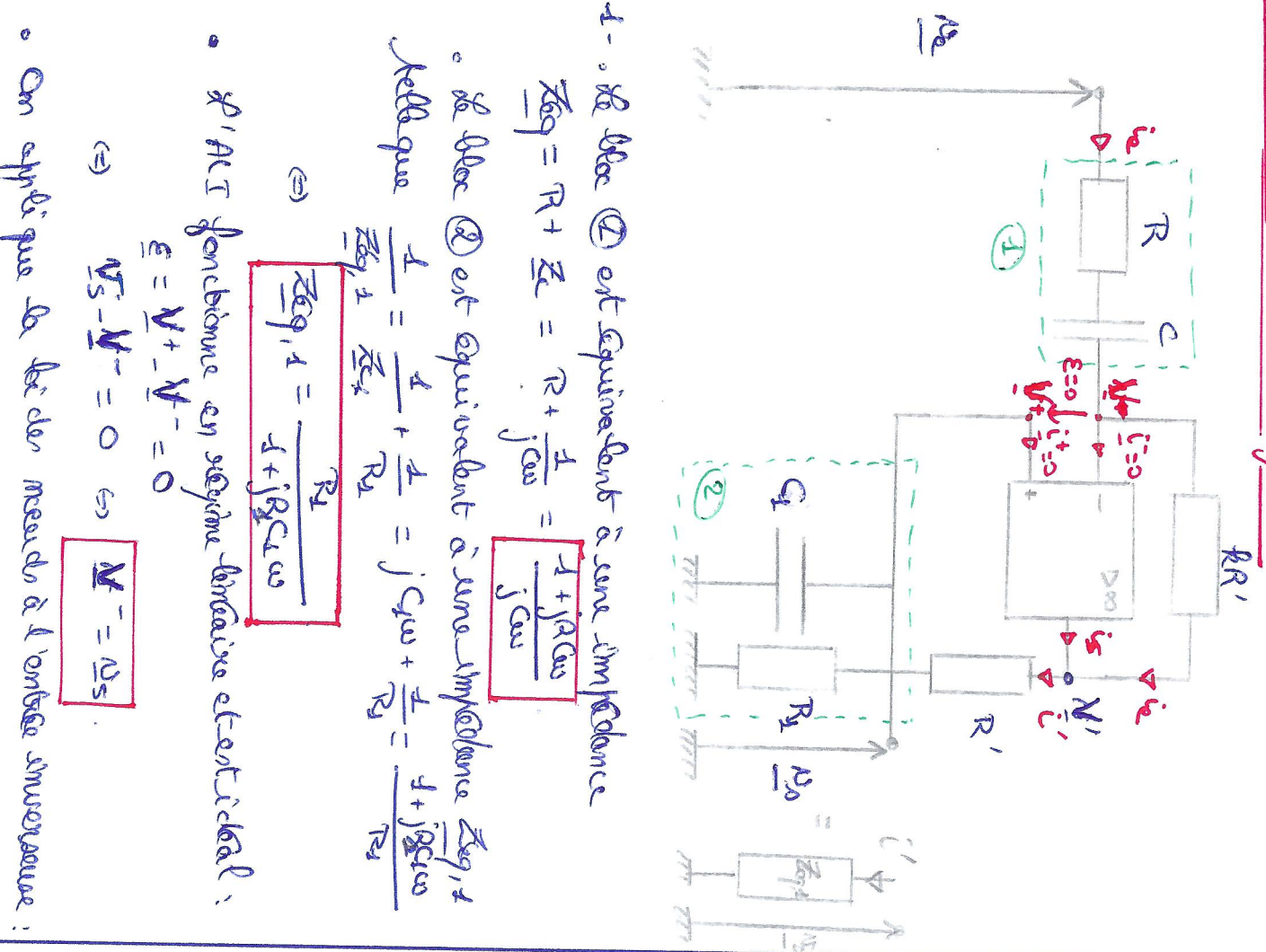
$$\text{Alors : } v^+ = v^- \Rightarrow e_1 = e_2 + s$$

$$\Rightarrow s = e_2 - e_1$$

Le montage est donc un inverseur de tension.

Exercice : Multe réglable

F. mag (2)



1 - Le bloc (2) est équivalent à une impédance

$$\underline{Z}_{eq} = R_s + \underline{Z}_s = R_s + \frac{1}{j\omega C_s} = \boxed{\frac{1 + j\omega C_s}{j\omega C_s}}$$

Le bloc (2) est équivalent à une impédance $\underline{Z}_{eq,1} +$

$$\text{rellaque } \frac{1}{\underline{Z}_{eq,1}} = \frac{1}{R_s} + \frac{1}{R_s} = j\omega C_s + \frac{1}{R_s} = \boxed{\frac{1 + j\omega C_s}{R_s}}$$

$$\Rightarrow \boxed{\underline{Z}_{eq,1} = \frac{R_s}{1 + j\omega C_s}}$$

R' est fonctionne en régime linéaire et est nul :

$$\underline{E} = \underline{V}^+ - \underline{V}^- = 0$$

$$\Leftrightarrow \underline{V}_s - \underline{V}^- = 0 \Leftrightarrow \boxed{\underline{V}^- = \underline{V}_s}$$

- On applique la loi des nœuds à l'entrée inverseur :

$$\frac{\underline{V}_p - \underline{V}_s}{\underline{Z}_{eq}} = \frac{\underline{V}_p - \underline{V}'}{\underline{R}' \underline{R}'}$$

Or : $\frac{\underline{V}' - \underline{V}_s}{\underline{R}'} = \frac{\underline{V}_s}{\underline{Z}_{eq,1}}$ car $i^+ = 0$ donc le même courant

\therefore décomposition \underline{R}' et $\underline{Z}_{eq,1}$.

Alors : $\underline{V}' = \underline{R}' \underline{V}_s \left(\frac{1}{\underline{R}'} + \frac{1}{\underline{Z}_{eq,1}} \right)$

ob : $\frac{\underline{V}_s}{\underline{Z}_{eq}} = \underline{V}_s \left[\frac{1}{\underline{Z}_{eq}} + \frac{1}{\underline{R}' \underline{R}'} - \frac{1}{\underline{R}'} \left(\frac{1}{\underline{R}'} + \frac{1}{\underline{Z}_{eq,1}} \right) \right]$

$$= \underline{V}_s \left[\frac{1}{\underline{Z}_{eq}} - \frac{1}{\underline{R}' \underline{Z}_{eq,1}} \right]$$

$$\Rightarrow H(j\omega) = \frac{\underline{V}_s}{\underline{V}_p} = \frac{1}{1 - \frac{\underline{Z}_{eq,1}}{\underline{R}' \underline{Z}_{eq,1}}} = \frac{1}{1 - \frac{1 + j\omega C_s}{j\omega C_s}}$$

$$\Leftrightarrow H(j\omega) = \frac{1}{1 - \frac{(1 + j\omega C_s)(1 + j\omega C_s)}{j\omega C_s}}$$

$$\Leftrightarrow H(j\omega) = \frac{j\omega C_s}{j\omega R_s C_s - [1 + j\omega (R_s + R_s) + (j\omega)^2 R_s C_s]}$$

$$\Leftrightarrow H(j\omega) = \frac{j\omega C_s}{-1 + j\omega (R_s C_s - R_s C_s) - R_s C_s (j\omega)^2}$$

$$\Leftrightarrow \boxed{H(j\omega) = \frac{-j\omega R_s C_s}{1 + j\omega (-R_s C_s + R_s C_s + R_s C_s) + R_s C_s (j\omega)^2}}$$

2 - Multe stable :

$$-R_s C_s + R_s C_s + R_s C_s > 0.$$

$$\Leftrightarrow R_s < \frac{R_s C_s}{R_s + C_s}$$

$$\Leftrightarrow \boxed{R_s < \frac{R_s + C_s}{R_s C_s}}$$

Pour identification :

$$\left\{ \begin{array}{l} \text{No. } \frac{2m}{\omega_0} = -RRC \\ \frac{\omega_m}{\omega_0} = -RRC + QC + R_C C_A \\ \frac{1}{\omega_0^2} = RCR_CC_A \end{array} \right.$$

On pose $R = R_A$ et $C = C_A$. Alors :

$$\boxed{\left\{ \begin{array}{l} \text{No. } \frac{2m}{\omega_0} = -\frac{R}{2-R} \\ \frac{\omega_m}{\omega_0} = RCR_A(2-R) \Rightarrow m = 1 - \frac{R}{2} \\ \omega_0 = \frac{1}{RC} \end{array} \right.}$$

Rq:

m est le facteur d'amortissement.

• Pour $R < 2$ (système stable, cas $R = R_A$ et $C = C_A$) :

$m > 0 \Rightarrow$ amortissement du signal.

• Pour $R > 2$ (système instable) :

$m < 0 \Rightarrow$ amplification du signal.

Q4 - Intérêt : filtre passe-bande dont le facteur de qualité est simple pour R , se mesurant indépendamment de R et C qui contiennent ω_0 .

$Q = \frac{1}{2m} = \frac{1}{2-R} \Rightarrow Q \rightarrow +\infty$ pour $R \rightarrow 2^-$, donc

on limite la stabilité. On peut obtenir un filtre passe-bande très sélectif.

Simulateur d'inductance

Q1 - On suppose d'abord un circuit fonctionnant en régime sinusoidal.

$$\begin{aligned} \underline{e} &= \underline{V}_+ - \underline{V}_- = 0 \\ \Leftrightarrow \boxed{\underline{V}_+ &= \underline{V}_-} \end{aligned}$$

Selon la loi des noeuds en termes de potentiel,

avec $\underline{i}_+ = \underline{i}_- = 0$:

$$\left\{ \begin{array}{l} (\underline{e} - \underline{V}_+) \times j(\omega) = \frac{\underline{V}_+}{2R} \quad \Leftrightarrow \quad \underline{V}_+ = \frac{2jR\omega}{1 + 2jR\omega} \underline{e} \\ \underline{\Delta} - \underline{V}_- = \frac{\underline{V}_-}{2R'} \quad \Leftrightarrow \quad \underline{\Delta} = \frac{3}{2} \underline{V}_- \end{array} \right.$$

Donc $\underline{V}_+ = \underline{V}_- : \quad \underline{\Delta} = \frac{3}{2} \underline{V}_- = \frac{3}{2} \underline{V}_+$

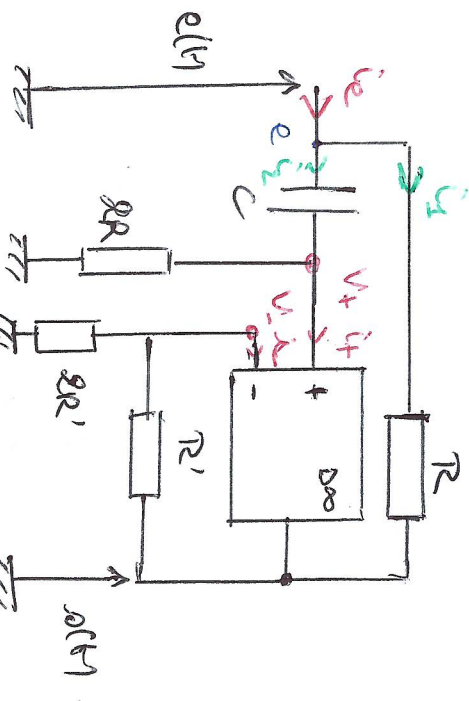
$$(\Rightarrow) \quad \underline{\Delta} = \frac{3}{2} \times \frac{2jR\omega}{1 + 2jR\omega} \cdot \underline{e}$$

$$(\Rightarrow) \quad \underline{\Delta} = \frac{3jR\omega}{1 + 2jR\omega} \underline{e} = \underline{H}(j\omega) \cdot \underline{e}$$

ce qui montre que la fonction de transfert du système,

que l'impédance d'entrée du montage est \underline{Z}_a telle que:

$$\underline{Z}_a = \frac{\underline{e}}{\underline{i}_a} :$$



$$\text{Or: } \underline{i}_a = \underline{i}_a + \underline{i}_g$$

$$\text{avec } \underline{i}_g = \frac{\underline{V}_+}{2R} = \frac{j(\omega)}{1 + 2jR\omega} \underline{e}$$

$$\text{et } \underline{i}_a = \frac{\underline{e} - \underline{\Delta}}{R}$$

$$\text{On } \underline{e} - \underline{\Delta} = \underline{e} \left[1 - \frac{3jR\omega}{1 + 2jR\omega} \right]$$

$$= \underline{e} \times \frac{1 - jR\omega}{1 + 2jR\omega}$$

$$\text{Ainsi: } \underline{i}_a = \frac{\underline{e}}{R} \times \frac{1 - jR\omega}{1 + 2jR\omega}$$

Donc:

$$\underline{i}_a = \underline{i}_a + \underline{i}_g = \underline{e} \left[\frac{1}{R} \times \frac{1 - jR\omega}{1 + 2jR\omega} + \frac{j(\omega)}{1 + 2jR\omega} \right]$$

$$= \underline{e} \times \frac{1 - jR\omega + jR\omega}{R(1 + 2jR\omega)} = \underline{e} \cdot \frac{1}{R + 2jR^2\omega}$$

$$\text{Ainsi: } \underline{Z}_a = \frac{\underline{e}}{\underline{i}_a} = R + 2jR^2\omega = R + jL\omega$$

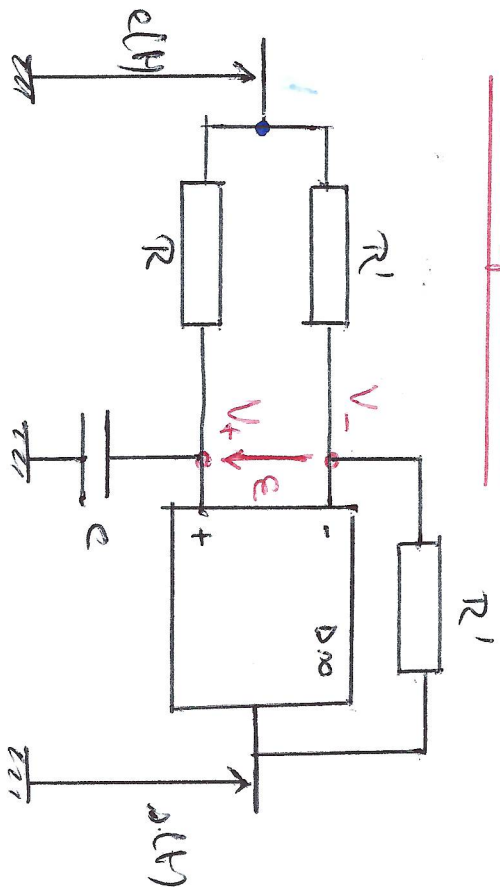
avec

$$R = R \quad \omega = \frac{1}{L} \quad L = 2R^2C$$

Avantages: : gain de place par rapport aux bobines classiques. (R = 1000 ohms)
forte valeur d'inductance fournie: $L \approx 10^3 \text{ H pour } C = 1 \mu\text{F}$

Filtre passe-haut

FOT(2)



$$\text{Ainsi : } \frac{V_-}{V_+} = \frac{R'}{R} \Rightarrow \frac{\frac{R'}{R} \cdot \left(\frac{e+j\omega}{2\pi}\right)}{1 + \frac{R'}{R} \cdot \left(\frac{e+j\omega}{2\pi}\right)} = \frac{e}{1 + j\omega RC}$$

$$\Leftrightarrow R' = -\Delta = \frac{e \cdot 2\pi}{1 + j\omega RC} = e - \frac{e}{1 + j\omega RC}$$

$$\Leftrightarrow \Delta = \frac{(1 - j\omega RC)^2}{1 + j\omega RC} = \frac{e^2}{1 + j\omega RC}$$

La fonction de transfert est donc :

$$H(j\omega) = \frac{\frac{e}{R}}{1 + j\omega RC} = \frac{e}{1 + j\omega RC} \cdot \frac{R'}{R}$$

q1 - Le montage est stable car il existe une rétroaction négative, uniquement, aux fréquences d'AVC.

q2 - Etudions la fonction de transfert du montage : Δ étant idéal : $e = 0$

$$\Rightarrow V_+ = V_-$$

Selon la loi des mailles en termes de potentiel :

$$\frac{e - V_-}{R} = \frac{V_- - \frac{e}{R'}}{R'}$$

$$\text{car } i_+ = 0 \cdot$$

$$\left. \begin{aligned} \frac{e - V_-}{R} &= \frac{V_- - \frac{e}{R'}}{R'} \\ \frac{e - V_+}{R} &= \frac{V_+}{R' \cdot j\omega C} \end{aligned} \right\} \text{ car } i_+ = 0 \cdot$$

$$\Rightarrow \left\{ \begin{aligned} V_- &= \frac{e + \frac{e}{R'}}{1 + \frac{1}{R' \cdot j\omega C}} \\ V_+ &= \frac{e}{1 + j\omega RC} \end{aligned} \right.$$

$$\text{Ainsi : } RC = \frac{1}{\omega_c} \Rightarrow RC \approx 3,3 \times 10^{-5} \text{ s}$$

On observe que la valeur de ω_c à $-\frac{\pi}{2}$ est :

$$\omega_c = 3,3 \times 10^4 \text{ rad.s}^{-1}$$

q3 - Ce montage est un déphaser : il
permet un déphasage pour une fréquence
donnée, non atténuation du signal
d'autre part.

q4 - R l'équation différentielle reliant sur

$\lambda(t)$ est, d'après la fonction de transfert :

$$RC \frac{d\lambda(t)}{dt} + \lambda(t) = e(t) - RC \frac{de(t)}{dt}$$

$$\text{Or, pour } e(t) = E_0 : \quad \frac{de(t)}{dt} = 0.$$

Ainsi :

$$RC \frac{d\lambda}{dt} + \lambda = E_0.$$

La résolution donne :

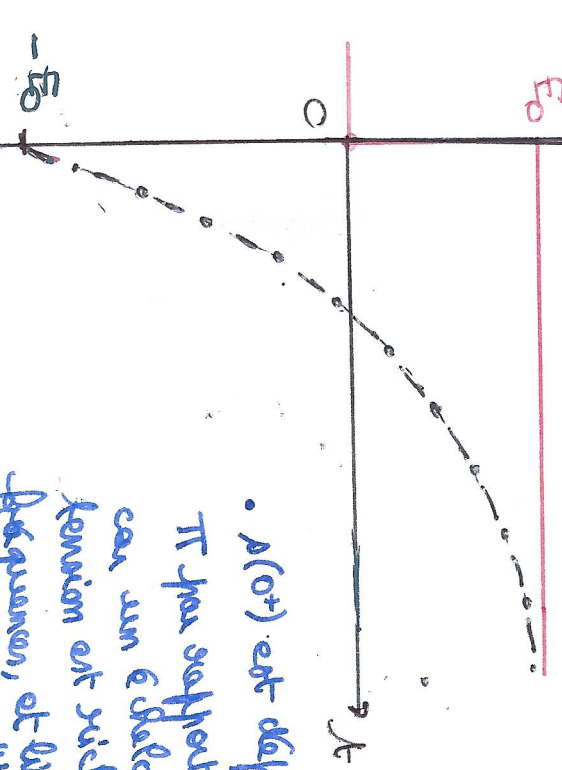
$$\lambda(t) = A \cdot e^{-t/RC} + E_0 \cdot (A: \text{constante réelle})$$

Or, à $t=0^+$, utilisant le même raisonnement que pour la tension :

de la valeur initiale :

$$\lambda(0^+) = \lim_{t \rightarrow +\infty} \lambda(t) = E_0$$

avec $\lambda \rightarrow j\omega$ (variable de temps).



Ainsi :

$$\boxed{\lambda(0^+) = -E_0}$$

$$\text{Travalement : } \lambda(0^+) = A + E_0 \Rightarrow A = \lambda(0^+) - E_0 \\ = -2E_0.$$

Ainsi :

$$\boxed{\lambda(t) = E_0 (-1 - 2e^{-t/RC})}$$

$$= -E_0.$$

On : $S(\phi) = H(\phi) \cdot E(\phi)$ et $E(\phi) = \frac{E_0}{\phi}$
pour un échelon de tension, donc :

$$\lim_{\phi \rightarrow +\infty} S(\phi) = \lim_{\phi \rightarrow +\infty} E_0 \cdot H(\phi) \\ = -E_0.$$

- $\lambda(0^+)$ est déphasage de π par rapport à $\phi(0^+) = E_0$ car un échelon de tension est nulle en basse fréquence, et $\lim_{\omega \rightarrow 0} \phi = \pi$.

Dérivateur spatial

q1 - δ' AC est suppose ideal : $\varrho = V_+ - V_- = 0$

$$\text{On : } \boxed{V_+ = 0} \text{ donc } \boxed{V_- = 0}.$$

$$\Leftrightarrow \boxed{V_+ = \overline{V_-}}$$

Selon la loi des mailles on devra avoir potentiel au nœud V_- , et avec $i_- = i_+ = 0$ (impédance d'entrée de l'AC suppose infinie), on peut écrire :

$$\frac{E(\rho) - V_-}{R + \frac{1}{j\omega C}} = \frac{V_- - S(\rho)}{R}$$

$$\Leftrightarrow E(\rho) = - \frac{(R + \frac{1}{j\omega C})}{R} S(\rho) \text{ car } V_- = 0$$

$$\Leftrightarrow S(\rho) = - \frac{j\omega C}{1 + j\omega C} E(\rho)$$

Ainsi :

$$\boxed{H(\rho) = - \frac{j\omega C}{1 + j\omega C}}$$

q2 - Comportement asymptotique du filtre : on

$$\text{pour } \omega_c = \frac{1}{RC} \text{ et } \rho \leftrightarrow j\omega :$$

$$\boxed{H(j\omega) = - \frac{1}{1 + j\omega/\omega_c}}$$

$\omega \ll \omega_c$	$\omega \gg \omega_c$
-----------------------	-----------------------

$$H(j\omega)$$

$$-j \frac{\omega}{\omega_c}$$

$$-1$$

$$G_{dB} = 20 \log(|H(j\omega)|)$$

$$20 \log\left(\frac{\omega}{\omega_c}\right)$$

$$0$$

$$\text{Panier}$$

$$+20 \text{ dB / decade}$$

$$\text{nulle}$$

$$\text{Déphasage : } \arg(H) = -\pi/2$$

$$-\pi$$

$$\text{Comportement}$$

$$\begin{array}{l} \text{Désinhibiteur} \\ \text{(est inverseur)} \end{array}$$

$$\text{Inverseur}$$

Ca filtre se comporte donc comme un dérivateur pour $\omega \ll \omega_c = \frac{1}{RC}$. La phase asymptotique vaut $-\frac{\pi}{2}$ dans ce cas. En revanche, ce filtre ne possède pas de comportement intégrateur.

q3 - Avec $H(\rho)$ et l'analogie $\rho \leftrightarrow \frac{dt}{dt}$, il vient :

$$\begin{aligned} & RC \frac{dH(t)}{dt} + \rho H = -RC \frac{d\varphi(t)}{dt} \\ \Leftrightarrow & \frac{d\rho(t)}{dt} + \frac{1}{RC} \rho H = - \frac{d\varphi(t)}{dt} \end{aligned}$$

q4 - Essai initial de tension E_0 :

$e(H)$.

$$e(t) = \begin{cases} 0 \text{ pour } t < 0 \\ E_0 \text{ pour } t \geq 0 \end{cases}$$



i - On utilise le théorème de la valeur initiale (cf. cours de ST), avec, pour un échelon E_0 :

$$E_H = \frac{E_0}{\tau}$$

Ainsi :

$$\begin{aligned} s(0^+) &= \lim_{t \rightarrow 0^+} s(t) \\ &= \lim_{t \rightarrow 0^+} \left(\mu + H(\mu) \times \frac{E_0}{\tau} \right) \\ &= \lim_{t \rightarrow 0^+} (E_0 H(\mu)) \end{aligned}$$

Rappel : $E(\mu)$ est
la transf. de la force
de $e(H)$:

$$E(\mu) = \int_{-\infty}^{+\infty} e(H) e^{-\mu t} dt$$

$$\begin{aligned} &= E_0 \left[\frac{e^{-\mu t}}{-\mu} \right]_{-\infty}^{+\infty} \\ &= \frac{E_0}{\mu}. \end{aligned}$$

On $\lim_{\mu \rightarrow +\infty} H(\mu) = -1$, donc :

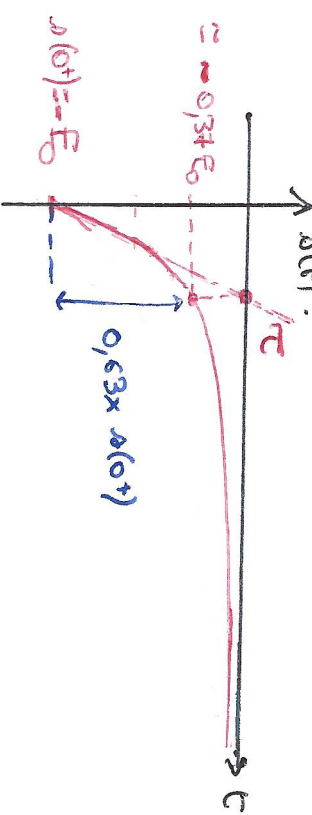
$$\boxed{s(0^+) = -E_0}$$

ii - Pour $t \geq 0$: $\frac{de}{dt} = 0$ car $e(H) = E_0 = \text{constante}$

Donc :

$$s(H) = s(0^+) e^{-t/\tau} \quad \text{avec } \tau = RC = \frac{1}{\omega_c}$$

$$\Rightarrow \boxed{s(H) = -E_0 e^{-t/\tau}}$$



iii - L'essai initial permet de trouver la constante de temps τ du filtre (cf. graph).

DR2

Utilité du montage suivant

$$q_1 - \underline{H}_1 = \frac{\underline{A}_1}{\underline{e}_1} = \frac{jL\omega}{R+jL\omega}$$

(point diviseur de tension)

$$\cdot \underline{H}_2 = \frac{\underline{A}_2}{\underline{e}_2} = \frac{(1/j\omega)}{R+(1/j\omega)} = \frac{1}{1+jR\omega}$$

(idem).

q₂ - La fonction de transfert \underline{H}_2 est supposée

correspondre au circuit Q₂ fonctionnant à vide.

Elle suit du montage Q₂ à la sortie de Q₁

entraîne l'apparition d'un courant en sortie de

Q₁, modifiant \underline{H}_1 . Le circuit issu de l'association de Q₁ et Q₂ ne peut donc plus avoir pour fonction de transfert le produit de \underline{H}_1 et \underline{H}_2 .

q₃ -

i - La rétroaction n'opère que sur la branche

inversante (" - ") de l'ALT : cette rétroaction est stabilisatrice. L'ALT fonctionne donc en régime linéaire.

ii - L'ALT est suffisamment : $\epsilon = V_+ - V_- = 0$

$$\text{Or : } \begin{cases} V_+ = \epsilon \\ V_- = 0 \end{cases} \Rightarrow \boxed{\epsilon = 0}$$

La tension de sortie est donc identique à celle d'entrée.

q₄ -

i - L'impédance d'entrée de l'ALT est supposée infinie : l'intensité du courant \underline{i}_+ à l'entrée

non-inversante est donc nulle. Le filtre Q₁ a donc la même comportement qu'à vide ; sa fonction de transfert est \underline{H}_1 .

ii - Soit $\underline{A}_A(H)$ la sortie de l'ALT et $\underline{D}_1(H)$ le signal de sortie de Q₁. Selon la question q₃, ii-, on a :

$$\underline{A}_A(H) = \underline{D}_1(H).$$

Par ailleurs, selon q₁ - :

$$\underline{D}(H) = \frac{1}{1+jR\omega} \underline{A}_A(H) = \frac{1}{1+jR\omega} \underline{D}_1(H) = \underline{H}_1 \underline{e}_1$$

$$\star \text{ On : } \underline{A}_1(H) = \underline{H}_1 \cdot \underline{e}_1(H) = \frac{jL\omega}{R+jL\omega} \underline{e}(H).$$

Donc :

$$\underline{D}(H) = \underline{H}_2 \cdot \underline{H}_1 \cdot \underline{e}(H).$$

$$\text{iii - On a : } \underline{D}(H) = \frac{jL\omega}{(1+jR\omega)(R+jL\omega)} \underline{e}(H)$$

$$\Leftrightarrow \underline{D}(H) = \frac{1}{(1+jR\omega)(1+\frac{R}{jL\omega})} \underline{e}(H)$$

$$\Leftrightarrow \underline{D}(H) = \frac{1}{1 + R^2 C^2 + j(RC - \frac{R}{\omega})} \underline{e}(H).$$

INPUT

La fonction de transfert du système est donc :

$$H = \frac{1}{1 + \frac{R_c C}{L} + j(RC\omega - \frac{R}{\omega L})}$$

On pose $\omega_1 = \frac{R}{L}$ et $\omega_2 = \frac{1}{RC}$; ses pulsations sont respectivement les pulsations de coupure de Q_1 (pass-haut) et Q_2 (pass-bas). Le gain (en dB) du système est donc :

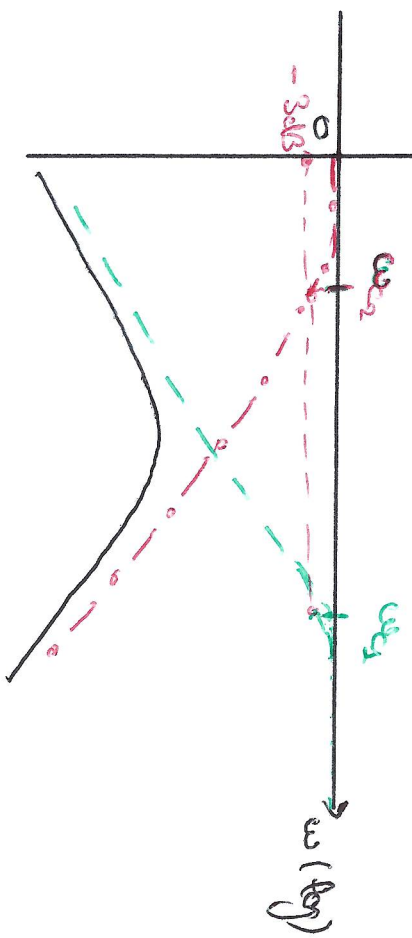
$$G_{dB} = 20 \log (|H(j\omega)|)$$

$$= 20 \log \left(|H_2 \cdot H_1| \right)$$

$$= 20 \log (|H_2|) + 20 \log (|H_1|)$$

$$\boxed{G_{dB} = G_{dB_1} + G_{dB_2}}$$

Le diagramme de Bode du système est donc la somme des courbes des diagrammes de Bode de Q_1 et Q_2 :



Il s'agit donc d'un filtre passe-bande, dont les pulsations de coupure sont fixées indépendamment l'une de l'autre par les circuits Q_1 et Q_2 .

Rq: Pour $\omega < \omega_1$:

--- : G_{dB_1} -.- : G_{dB_2} — : G_{dB}



La modification de ω_1 et ω_2 permet de régler le gain maximal et la largeur de bande (donc le facteur de qualité) du système.

Intégrateur réel

IRG

q1 - Si \underline{A} est réel : $\underline{E} = \underline{V}_+ - \underline{V}_- = 0$.

$$\text{On : } \begin{cases} \underline{V}_+ = 0 \\ \underline{V}_- = ? \end{cases}$$

$$\underline{V}_+ = 0$$

Selon la loi des noeuds en termes de potentiel,

on peut écrire :

$$\frac{\underline{E} - \underline{V}_-}{R} = \frac{\underline{V}_- - \underline{A}}{1/j\omega} = j\omega(\underline{V}_- - \underline{A})$$

Ainsi :

$$\underline{V}_- = \frac{\underline{E} + j\omega \underline{A}}{1 + j\omega R}$$

Or $\underline{V}_- = \underline{V}_+ = 0$, donc :

$$\underline{E} + j\omega \underline{A} = 0$$

$$\Leftrightarrow \underline{A} = -\frac{\underline{E}}{j\omega}$$

La fonction de transfert du système est donc :

$$\boxed{\frac{\underline{A}}{\underline{E}} = -\frac{1}{j\omega} = H(j\omega)}$$

Il s'agit donc d'un intégrateur linéaire.

q2 - On écrit cette fois :

$$\cdot \underline{E} = \underline{V}_+ - \underline{V}_- \neq 0 \text{ en régime linéaire}$$

$$\underline{A} = \underline{Ad} \cdot \underline{E}$$

$$\text{On } \underline{E} = \underline{V}_+ - \underline{V}_- = -\underline{V}_- \text{ car } \underline{V}_+ = 0$$

Donc

$$\boxed{\underline{A} = -\underline{Ad} \times \underline{V}_-}$$

$$\text{On : } \underline{V}_- = \frac{\underline{E} + j\omega \underline{A}}{1 + j\omega R}, \text{ donc :}$$

$$(1 + j\omega R) \underline{V}_- = \underline{E} + j\omega R \times (-\underline{Ad} \cdot \underline{V}_-)$$

$$\Leftrightarrow (1 + j\omega R (1 + \underline{Ad})) \underline{V}_- = \underline{E}$$

$$\Leftrightarrow \underline{V}_- = \frac{\underline{E}}{1 + j\omega R (1 + \underline{Ad})}$$

Ainsi :

$$\underline{A} = \frac{-\underline{Ad}}{1 + j\omega R (1 + \underline{Ad})} \underline{E}$$

et la fonction de transfert s'écrit :

$$\boxed{H(j\omega) = \frac{-\underline{Ad}}{1 + j\omega R (1 + \underline{Ad})}}$$

q3 - on pose :

$$\underline{A} \underline{H} = \frac{A_0}{1 + j \frac{\omega}{\omega_c}} \quad \text{avec } \omega_c = 2\pi f$$

Ainsi :

$$\begin{aligned} jRc\omega (1 + A_d) &= jRc\omega \left(1 + \frac{A_0}{1 + j \frac{\omega}{\omega_c} + A_0} \right) \\ &= \frac{jRc\omega \left(1 + j \frac{\omega}{\omega_c} + A_0 \right)}{1 + j \frac{\omega}{\omega_c} + jRc\omega (1 + j \frac{\omega}{\omega_c} + A_0)} \end{aligned}$$

Finalement :

$$\underline{H}(j\omega) = \frac{-A_0}{1 + j \frac{\omega}{\omega_c} + jRc\omega (1 + A_0) + (j\omega)^2 \cdot \frac{Rc}{\omega_c}}.$$

$$\Rightarrow \underline{H}(j\omega) = \frac{1 + j\omega \left[\frac{1}{\omega_c} + R_c (1 + A_0) \right] + (j\omega)^2 \frac{Rc}{\omega_c}}{1 + j \frac{\omega}{\omega_c} - A_0}.$$

q4 - on cherche à trouver :

$$\begin{aligned} P_2 &= H \text{ a } \omega \\ &\text{membre de la loi d'indépendance de } \omega \\ &\text{on obtient donc} \\ &\text{deux fonctions} \\ &\text{de transfert } H_1 \text{ et } H_2 \text{ de type -baissante.} \end{aligned}$$

$$\begin{aligned} H_1 &= \frac{A_1}{1 + j \frac{\omega}{\omega_1}} \\ &= \frac{A_1}{1 + j \frac{\omega}{\omega_1}} \cdot \frac{A_2}{1 + j \frac{\omega}{\omega_2}} \\ &= \frac{A_1 A_2}{1 + j \frac{\omega}{\omega_1} + j \frac{\omega}{\omega_2} + j^2 \frac{\omega}{\omega_1} \frac{\omega}{\omega_2}} \end{aligned}$$

Par analogie :

$$\begin{cases} A_1 \cdot A_2 = -A_0 \\ \frac{1}{\omega_1} + \frac{1}{\omega_2} = \frac{1}{\omega_c} + R_c (1 + A_0) \quad (1) \\ \frac{1}{\omega_1 \omega_2} = \frac{R_c}{\omega_c} \end{cases} \quad (3)$$

$$(3) \Rightarrow \frac{1}{\omega_2} = \frac{R_c \omega_2}{\omega_c}$$

Done :

$$(2) \Rightarrow \frac{R_c \omega_2}{\omega_c} + \frac{1}{\omega_2} = \frac{1}{\omega_c} + R_c (1 + A_0)$$

$$\Leftrightarrow R_c \omega_2^2 + \omega_c = \omega_2 + R_c \omega_2 (1 + A_0) \cdot \omega_2 = 0.$$

$$\Leftrightarrow R_c \omega_2^2 - \omega_2 [1 + R_c \omega_2 (1 + A_0)] + \omega_c = 0.$$

$$\text{On a } R_c \omega_2 (1 + A_0) \approx 10^3 \gg 1, \text{ donc on peut poser :}$$

$$R_c \omega_2^2 - \omega_2 \cdot R_c \omega_2 (1 + A_0) + \omega_c = 0.$$

Résolution :

$$\Delta = (R_c \omega_2 (1 + A_0))^2 - 4 R_c \omega_2$$

$$= R_c \omega_2 \left[\frac{R_c \omega_2 (1 + A_0)^2}{4} - 1 \right]$$

$$\Rightarrow \Delta > 0.$$

Il existe donc deux racines réelles :

$$\omega_{2,\pm} = \frac{+ R_c \omega_2 (1 + A_0) \pm \sqrt{[R_c \omega_2 (1 + A_0)]^2 - 4 R_c \omega_2}}{2 R_c}$$

$$\Leftrightarrow \omega_{2,\pm} = \pm \frac{\omega_c (1 + A_0)}{2} \pm \frac{\omega_c (1 + A_0)}{2} \sqrt{1 - \frac{4}{R_c \omega_2 (1 + A_0)^2}}$$

On sait connue que la solution positive :

$$\omega_2 = \omega_{2,+} = + \frac{\omega_c (1 + A_0)}{2} + \frac{\omega_c (1 + A_0)}{2} \sqrt{1 - \frac{4}{R_c \omega_2 (1 + A_0)^2}}$$

Or : $0 < \text{RC}\omega_c(1+A_0)^2 \gg 1$, donc on peut

écrire :

$$\sqrt{1 - \frac{4}{\text{RC}\omega_c(1+A_0)^2}} \approx \sqrt{1 - 0} \approx 1.$$

Alors :

$$\underline{\omega_2} \approx \underline{\omega} \times \frac{\underline{\omega}_c(1+A_0)}{\underline{\omega}} \approx \underline{\omega}_c(1+A_0)$$

$$\text{et : } \underline{\omega_1} = \frac{\underline{\omega}_c}{\text{RC}\underline{\omega}_2} \approx \frac{1}{\text{RC}(1+A_0)}$$

Alors :

$$\underline{H}(\text{j}\omega) = \frac{-A_0}{[1 + \text{j}\omega \text{RC}(1+A_0)][1 + \text{j}\frac{\omega}{\omega_c(1+A_0)}]}$$

Ainsi :

$$\left\{ \begin{array}{l} \omega_2 \approx 1,98 \times 10^7 \text{ rad.s}^{-1} \\ \omega_1 \approx 1,0 \times 10^{-2} \text{ rad.s}^{-1} \end{array} \right.$$

Soit :

$$\left\{ \begin{array}{l} f_2 \approx 3,0 \times 10^6 \text{ Hz} \\ f_1 \approx 1,6 \times 10^{-3} \text{ Hz} \end{array} \right.$$

Q5- Dans la gamme de fréquences donnée :

$$f_1 < f < f_2.$$

La fréquence de coupure f_2 laisse passer sans atténuation le signal (passe-haut), mais à très

IR(3)

faibles fréquences (passe-bas $\approx \frac{f_2}{3}$).

La fréquence de coupure f_1 est absorbée par un signal de fréquence proche dans les bandes d'atténuation ($f > f_1$) : il joue donc le rôle d'intégrateur

la fonction de transfert devient :

$$\underline{H}(\text{j}\omega) = \frac{-A_0}{(1 + \text{j}\frac{\omega}{\omega_2})(1 + \text{j}\frac{\omega}{\omega_1})} = -\frac{A_0}{1 + \text{j}\frac{\omega}{\omega_1}}$$

car $\omega < \omega_2$ et $\omega > \omega_1$.

Alors :

$$\underline{H}(\text{j}\omega) \approx \frac{-A_0}{1 + \text{j}\text{RC}\omega(1+A_0)}$$

et, pour $A_0 \gg 1$, $\text{RC}\omega(1+A_0) \gg 1$:

$$\underline{H}(\text{j}\omega) \approx \frac{-A_0}{\text{j}\text{RC}\omega}.$$

On retrouve la fonction de transfert de la question où on connaît le gain statique A_0 infini (cas idéal).

Filtre accentuateur

Q1 - Le système est stable grâce à la sélectivité négative

aux basses fréquences de l'ALI.

Q2 - On suppose que l'ACII est idéal. Du fait de son fonctionnement en régime linéaire (hypothèse statique) :

$$e = V^+ - V^- = 0 \Rightarrow V^+ = V^-$$

On suppose aussi que $e(t)$ est sinusoidal, de pulsation ω .

Les courants d'entrée de l'ALI sont nuls (grande conductance d'antenne). Selon les lois des noeuds on devient de potentiel,

en V^- :

$$\frac{0 - V^-}{R_2 + jC\omega} = \frac{V^- - \varphi}{R_2}$$

$$\Rightarrow - \frac{jR_2 C \omega V^-}{1 + jR_2 C \omega} = \frac{V^- - \varphi}{R_2}$$

$$\Rightarrow \Delta = V^- \left[1 + \frac{jR_2 C \omega}{1 + jR_2 C \omega} \right]$$

$$\Rightarrow \Delta = V^- \left[\frac{1 + j(R_2 + R_2) C \omega}{1 + jR_2 C \omega} \right]$$

On a $V^- = V^+ = \varphi$ par construction. On en déduit:

$G_{dB}(\omega)$	$\omega < \omega_0, \omega_1$	$\omega > \omega_0, \omega_1$
$\varphi(\omega)$	$\approx \arg(\varphi) = 0$	$\approx \arg\left(\frac{\tau_0}{\tau_1}\right) = 0$

$$\text{avec } \omega_0 = \frac{1}{\tau_0} \text{ et } \omega_1 = \frac{1}{\tau_1}$$

$$H = \frac{\Delta}{e} = \frac{1 + j(R_2 + R_2) C \omega}{1 + jR_2 C \omega} \text{ car, en transformée de LAPLACE :}$$

$$H(j\omega) = \frac{\frac{S(j\omega)}{E(j\omega)}}{1 + jR_2 C \omega} = \frac{A \cdot N \cdot \frac{1}{j\omega}}{1 + j\tau_2 \omega} = \begin{cases} \tau_0 = 10^{-4} \text{ s} \\ \tau_1 = 10^{-3} \text{ s} \end{cases}$$

Q3 - Reprenons l'expression de $H(j\omega)$ pour calculer le gain logarithmique G_{dB} et le déphasage φ :

$$H(j\omega) = \frac{1 + j\tau_2 \omega}{1 + j\tau_1 \omega}$$

$$\Rightarrow |H(j\omega)| = \sqrt{\frac{1 + (\tau_2 \omega)^2}{1 + (\tau_1 \omega)^2}}$$

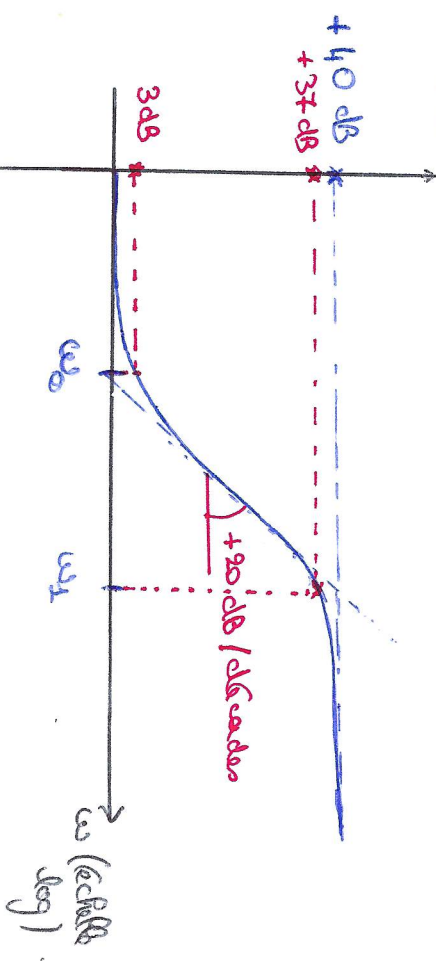
$$\Rightarrow G_{dB} = 20 \log(|H(j\omega)|) = 10 \log(1 + (\tau_2 \omega)^2) - 10 \log(1 + (\tau_1 \omega)^2)$$

et $\varphi(\omega) = \arg(H) = \arctan(\tau_2 \omega) - \arctan(\tau_1 \omega)$.

Étudions le comportement asymptotique du filtre:

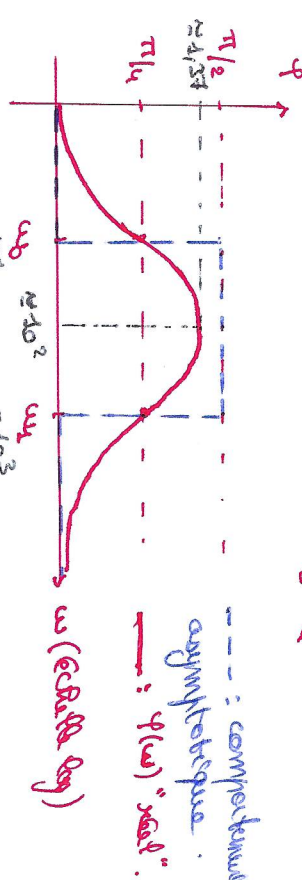
Le gain dB est plus élevé à hautes fréquences qu'à basses fréquences. Le diagramme de BODE en amplitude correspondant est celui de gauche.

GdB



marq.

$$\text{Complément : pour } \begin{cases} \omega_0 < \omega < \omega_1, \varphi = \arg(j\frac{\omega}{\omega_0}) = \frac{\pi}{2}. \\ \omega = \omega_0 : \varphi = \frac{\pi}{4} - 0 = \frac{\pi}{4} \\ \omega = \omega_1 : \varphi = \frac{\pi}{2} - \frac{\pi}{4} = \frac{\pi}{4}. \end{cases}$$



q1 - La partie réelle $\Re(H)$ est nulle que :

$$\Rightarrow |H| = E_0 \cdot |\underline{H}(\omega=0)| \cos(\arg(\underline{H}(\omega=0)))$$

$$\begin{aligned} \text{Puis } \omega = \omega_2 : \quad \text{GdB} &\approx -20 \log(1+10^4) - 20 \log(2) \\ &\Rightarrow \text{GdB} \approx 37 \text{ dB}. \end{aligned}$$

- Pour $\omega \gg \omega_0$ main $\omega \ll \omega_1$:

$$\underline{H} \approx \frac{1}{j\omega} = j\frac{\omega}{\omega_0}$$

$$\text{Donc : } \text{GdB} = 20 \log\left(\frac{\omega}{\omega_0}\right) \Rightarrow \text{pente de } +20 \text{ dB / décadr.}$$

Ce filtre passe-bas comprend des bandes passantes à hautes fréquences. On obtient des basses fréquences : il accentue les fréquences élevées, d'où le nom "accenuateur". Pour $\omega \ll \omega_1$ et $\omega \gg \omega_0$, le déphasage est nul.

Donc :

$$\text{Donc : } \rho(H) = E_0 + 400 E_A \cos(2\pi f t).$$

95 - Si la fenteion de transport du filtre est connue :

$$\underline{H} = \frac{\underline{A}}{\underline{\omega}} = \frac{A + j(R_2 + R_3)C\omega}{A + jR_2 C^2 \omega^2}$$

Donc : $|H| = S_0 = \sqrt{\frac{1 + (R_2 + R_3)^2 C^2 \omega^2}{1 + R_2^2 C^2 \omega^2}} \cdot E_0$

avec S_0 et E_0 les amplitudes des signaux $s(t)$ et $e(t)$.

Selon la figure fournie :

$$\left\{ \begin{array}{l} E_0 = \frac{200}{2} = 100 \text{ mV} \\ S_0 = \frac{3,56}{2} = 1,78 \text{ V} \end{array} \right.$$

De plus : $f = 30,043 \Rightarrow \omega = 2\pi f \approx 198,5 \text{ rad. s}^{-1}$

En substituant l'expression de S_0 , on obtient :

$$R_2 C = \frac{1}{\omega} \sqrt{(1 + R_2^2 C^2 \omega^2) \frac{S_0^2}{E_0^2} - 1} - R_3 C$$

A.N.: avec $R_3 C = 1,00 \cdot 10^{-3} \text{ s}$:

$$R_2 C \approx 9,50 \cdot 10^{-2} \text{ s}$$

Rq: $A_{AV} (R_2 + R_3)C \approx 9,60 \cdot 10^{-2} \text{ s} \neq 10^{-2} \text{ s}$.

ii. Le décalage temporel entre le signaux est $\Delta t = 1,0 \text{ ms}$.

On connaît le décalage temporel d'une période T correspond à :

un déphasage de 2π . Ainsi :

$$\tau \leftrightarrow 2\pi$$

$$\Delta t \leftrightarrow \Delta\phi$$

$$\Rightarrow \Delta\phi = 2\pi \cdot \frac{\Delta t}{T}$$

A.N.: avec $T = \frac{4}{f} : \Delta\phi = 2\pi f \Delta t \Rightarrow \Delta\phi \approx 1,32 \text{ rad.}$

101) Trouver le voltage maximum courant $\delta(t)$: $\delta(t)$ est :

donc en général le phasor sous $\delta(t)$.

iii - La réponse sinusoidale d'un circuit correspond à l'allure du signal de sortie lorsque le signal d'entrée est un décalage de tension :



$$\delta(t) = \begin{cases} E_0 \text{ pour } t > 0 \\ 0 \text{ sinon} \end{cases}$$

On pose dans le domaine temporel :

$$H(t) = \frac{s(t)}{E(t)} = \frac{1 + \tau_0 t}{1 + \tau_2 t}$$

$$\Rightarrow S(t) (1 + \tau_2 t) = (1 + \tau_0 t) E(t)$$

$$\Rightarrow S(t) + \tau_2 \frac{dS(t)}{dt} = (1 + \tau_0 t) \frac{dE(t)}{dt}$$

On pose $t \geq 0$, $\delta(t) = E_0 = \text{cte}$. Donc :

$$\lambda(t) + \tau_2 \frac{d\lambda(t)}{dt} = E_0 \quad \left(\frac{d\delta(t)}{dt} = \frac{dE_0}{dt} = 0 \right)$$

Solution : $\lambda(t) = E_0 + A_2 e^{-t/\tau_2}$ avec A_2 : conste IR.

Point méthode : La constante d'intégration, pour une réponse indicielle, est obtenue en appliquant le théorème du pas de valeur initiale :

$$\lambda(0^+) = \lim_{t \rightarrow 0^+} (\lambda(t) E(t))$$

Or : $E(t) = \frac{E_0}{1 + \tau_2 t}$ pour une variation de tension (cf. transfonmée de LAPLACE), donc :

$$\Delta(0^+) = \lim_{t \rightarrow +\infty} (\mathcal{H}(t) E_0) = \frac{\tau_0}{\tau_1} E_0 = \left(1 + \frac{R_2}{R_1}\right) E_0.$$

$$\text{On } \Delta(0^+) = E_0 + A \Rightarrow A = \frac{R_2}{R_1} E_0$$

Représentation graphique: $\Delta(t) = E_0 + \frac{R_2}{R_1} E_0 e^{-\tau_1 t}$.

$$\Delta(t)$$

$$E_0 + \frac{R_2}{R_1} E_0$$



* Ainsi l'ALI ne doit pas saturer. Il faut donc vérifier:

$$E_0 \left(1 + \frac{R_2}{R_1}\right) < V_{sat}$$

$$\Rightarrow E_0 < \frac{V_{sat}}{1 + \frac{R_2}{R_1}} \approx 10^2 V_{sat}.$$

Nuit, pour que $\Delta \leq 15 V$ (valeur critique), $E_0 < 0,15 V$.

QF - i - Par définition: $A(\mathfrak{H}) = \frac{A_0}{1 + \tau_1 \mathfrak{H}}$ en transformée de LAPLACE.

$$\text{Avec : } \begin{cases} \Delta(A_0) = 40^5 \\ \Delta(\tau) = 40^{-3} \end{cases}$$

Réponse (1 + $\tau_1 \mathfrak{H}$) on factorise le dénominateur :

$$1 + \tau_1 \mathfrak{H} + \frac{\tau}{A_0} \tau_1 \mathfrak{H}^2 = (1 + \tau_1 \mathfrak{H}) \left(1 + \frac{\tau_1 \mathfrak{H}^2}{A_0 (1 + \tau_1 \mathfrak{H})} \right)$$

soit $\tau_1 \mathfrak{H} \ll 1$, $\varepsilon = V^+ - V^- \neq 0$.

En transformée de LAPLACE, on a toujours $(\mathfrak{H}, \mathfrak{H}^2)$:

$$V(\mathfrak{H}) = S(\mathfrak{H}) \times \frac{1 + \tau_1 \mathfrak{H}}{1 + \tau_2 \mathfrak{H}} \quad \text{avec } \tau_2 = \tau_2 C \quad \text{et } \tau_2 = (R_2 + R_1)C.$$

$$\text{De plus, } V^+(\mathfrak{H}) = E(\mathfrak{H}).$$

$$\text{Ainsi: } E(\mathfrak{H}) = S(\mathfrak{H}) - S(\mathfrak{H}) \frac{1 + \tau_2 \mathfrak{H}}{1 + \tau_2 \mathfrak{H}}$$

$$\text{On } S(\mathfrak{H}) = A(\mathfrak{H}) E(\mathfrak{H}) \Rightarrow S(\mathfrak{H}) = \frac{A_0}{1 + \tau_1 \mathfrak{H}} \cdot E(\mathfrak{H})$$

Donc:

$$\frac{A + \tau_1 \mathfrak{H}}{A_0} S(\mathfrak{H}) = E(\mathfrak{H}) - S(\mathfrak{H}) \frac{1 + \tau_2 \mathfrak{H}}{1 + \tau_2 \mathfrak{H}}$$

$$\Rightarrow$$

$$S(\mathfrak{H}) \left[\frac{A + \tau_1 \mathfrak{H}}{A_0} + \frac{1 + \tau_2 \mathfrak{H}}{1 + \tau_2 \mathfrak{H}} \right] = E(\mathfrak{H}) -$$

$$\text{Or } H(\mathfrak{H}) = \frac{S(\mathfrak{H})}{E(\mathfrak{H})} \Rightarrow H(\mathfrak{H}) = \frac{A_0 (1 + \tau_2 \mathfrak{H})}{(1 + \tau_1 \mathfrak{H})(1 + \tau_2 \mathfrak{H}) + A_0 (1 + \tau_1 \mathfrak{H})}$$

$$\Rightarrow H(\mathfrak{H}) = \frac{A_0 (1 + \tau_2 \mathfrak{H})}{A_0 (1 + \tau_1 \mathfrak{H}) + \tau_2 \tau_1 \mathfrak{H}^2 + A_0}$$

On sait également que :

- $A_0 \approx 10^5 \Rightarrow A_0 \gg 1$.
- $A_0 \tau_1 \approx 10^2 \gg \tau_1 \approx \tau_2$.

Donc :

$$H(\mathfrak{H}) \approx \frac{A_0 (1 + \tau_2 \mathfrak{H})}{A_0 + A_0 \tau_1 \mathfrak{H} + \tau_2 \tau_1 \mathfrak{H}^2} = \frac{1 + \tau_2 \mathfrak{H}}{1 + \tau_1 \mathfrak{H} + \frac{\tau_2}{A_0} \mathfrak{H}^2}$$

$$\approx (1 + \tau_2 \mathfrak{H}) \left(1 + \frac{\tau_2 \mathfrak{H}}{A_0 \tau_1} \mathfrak{H} \right)$$

Le deuxième développement est justifié par le fait que :

$$(1+\tau_{\text{RF}})(1+\frac{\tau_{\text{RC}}}{A_0 \tau_A} h) = 1 + \tau_{\text{RF}} h + \frac{\tau_{\text{RC}}}{A_0} h^2$$

$$\text{on } \sigma \left(\frac{\tau_{\text{RC}}}{A_0 \tau_A} \right) = \frac{10^{-3} \cdot 10^{-2}}{10^5 \cdot 10^{-3}} \approx 10^{-6} \text{ et } \sigma(h) = 10^{-3},$$

Dans $\frac{\tau_{\text{RC}}}{A_0 \tau_A} \ll \tau_A$; on peut dire bien :

$$(1+\tau_{\text{RF}})(1+\frac{\tau_{\text{RC}}}{A_0 \tau_A} h) \approx 1 + \tau_{\text{RF}} h + \frac{\tau_{\text{RC}}}{A_0} h^2.$$

Alors:

$$H(h) \approx \frac{1 + \tau_{\text{RF}} h}{(1 + \tau_{\text{RF}})(1 + \frac{\tau_{\text{RC}}}{A_0 \tau_A} h)} = \frac{1 + \tau_{\text{RF}} h}{(1 + \tau_{\text{RF}})(1 + \Theta h)}$$

avec

$$\Theta = \frac{\tau_{\text{RC}}}{A_0 \tau_A} = \frac{\tau}{A_0} * \left(1 + \frac{R_2}{R_1} \right)$$

Remarque - On remarque cette fois-ci que, lors d'un signal nul initial,
 $H(0^+) = \lim_{h \rightarrow +\infty} (H(h) \cdot E_0) = 0$ car $\lim_{h \rightarrow +\infty} H(h) = 0$.

Alors $H(0^-) = \sigma(0^+) = 0$: la tension de sortie reste nulle.

Alors :

iv. Par définition: $\frac{d\sigma}{dt}(0^+) = \lim_{t \rightarrow +\infty} \left[\left(\sigma(S(h)) - \sigma(0^+) \right) * h \right]$

$$\Rightarrow \frac{d\sigma}{dt}(0^+) = \lim_{t \rightarrow +\infty} \left(\int_0^t (H(h)) E_0 h \right) = \lim_{t \rightarrow +\infty} (H(t)) E_0$$

$$\Rightarrow \frac{d\sigma}{dt}(0^+) = \frac{\tau_0}{\tau_2} E_0$$

$$\text{ou } \frac{d\sigma}{dt}(0^+) = \frac{10^3}{\tau} E_0 \approx 10^3 \times E_0 (V.s^{-1}) \text{ assez}$$

La fréquence est très élevée : le montre au brouillon de faire bien.
 Fait très brièvement, pour passer de OV à $\frac{R_2 E_0}{R_1} \approx 100 E_0$,
 se passe environ 10^{-6} s soit 4 ms!

Conversion courant-tension et tension-courant

Montage G -

$$\bullet \quad \mathcal{E} = N^+ - N^- = N_\text{G} - (i_\text{G}) \Leftrightarrow N^- = N_\text{G}$$

94 - On sait que :

- convention tension-tension : $N_\text{G} = A_{N_\text{G}}$;

$$Z_\text{G} \rightarrow +\infty, \quad Z_\text{G} \rightarrow 0. \quad (\text{cas idéal})$$

- convention courant-tension (idéal) :

$$N_\text{G} = R_\text{G} i_\text{G}, \quad Z_\text{G} \rightarrow 0, \quad Z_\text{G} \rightarrow 0.$$

- convention tension-courant (idéal) :

$$i_\text{G} = G_\text{G} N_\text{G} \quad (G_\text{G}: \text{transconductance}).$$

$$Z_\text{G} \rightarrow +\infty$$

$$Z_\text{G} \rightarrow +\infty$$

(= non d'influence sur i_G).

du V_G .

92 - On suppose des AIT indépend. Ainsi :

$$\text{Montage a - } \quad Z_\text{G} = 0 \Rightarrow N^+ = N^- = N_\text{G} = 0$$

$$\text{Or: } \frac{N_\text{G} - N_\text{D}}{R} = -\frac{N_\text{D}}{R} = i_\text{G} \Rightarrow N_\text{D} = -R i_\text{G}$$

On retrouve la caractéristique d'un convertisseur courant-tension, avec $R_\text{K} = -R$.

$$\bullet \quad Z_\text{G} = \frac{N_\text{D}}{i_\text{G}} = 0 \text{ car } N_\text{D} = 0 \text{ et } i_\text{G} \neq 0.$$

* $Z_\text{G} = ?$ On sait que : $N_\text{D} = -R i_\text{G}$ indépendant de i_G ; lorsque dans le même cas que le montage suivant, Z_G est l'impédance de sortie et ce que i_G est indépendant de N_D . En revanche, l'impédance d'entrée n'est $\frac{N_\text{D}}{R_\text{K}} = \frac{N_\text{D}}{-R}$. donc $Z_\text{G} = 0$ (cf. cours)

- Pour atteindre, il n'y a aucun courant $i^- \Rightarrow N_\text{D} = R_\text{K} i_\text{G}$.

$$\Leftrightarrow N_\text{D} = +\frac{1}{R} N_\text{G}.$$

Il s'agit bien d'un convertisseur tension-courant. L'impédance d'entrée est infinie (car $i_\text{G} = i^+ = 0$) et l'impédance de sortie est aussi infinie car i_G est indépendant de N_D (**Désavantage**: R_K pas à la masse) **charge flottante**

- Montage c - $\mathcal{E} = 0 \Rightarrow N^+ = N^- = N_\text{G}$. On applique la loi des nœuds à l'entrée non inverseuse :

$$\frac{N_\text{G} - N_\text{D}}{R_1} = \frac{N_\text{D} - N_\text{S}}{R_2} + i_\text{G}.$$

et à l'entrée non-inverseuse :

$$-\frac{N_\text{D}}{R_2} = \frac{N_\text{D} - N_\text{S}}{R_2}.$$

Ainsi, en sommant $\frac{N_\text{G} - N_\text{D}}{R_1} + \frac{N_\text{D} - N_\text{S}}{R_2} = -\frac{N_\text{D}}{R_2} + i_\text{G}$.

$$\Leftrightarrow \frac{N_\text{G}}{R_1} = i_\text{G}.$$

Il s'agit bien d'un convertisseur tension-courant. L'impédance de sortie est car i_G est indépendant de N_D . En revanche, l'impédance d'entrée n'est $\frac{N_\text{G}}{R_1} = \frac{N_\text{G}}{R_\text{K}}$.

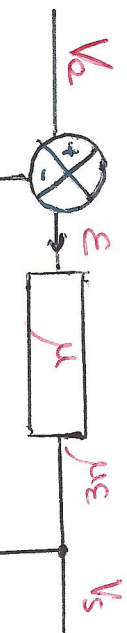
Pour rendre le circuit c idéal, il faut rajouter un montage suivant au niveau de l'entrée (cas où : $Z_\text{G} \rightarrow +\infty$)

Impédances d'entrée et de sortie dans le cas d'une rétroaction

q4- On suppose que $I_s = 0$. Ainsi :

$$V_o = \mu \cdot e.$$

L'amplificateur admet en entrée e , fourni V_a en AC et une partie de V_b est prélevée dans la boucle de rétroaction pour fournir V_i . Avec $V_a = e + V_b$, on trouve la relation fonctionnelle suivante :



$$= \beta V_o$$

- On a : $V_a = e + V_b \Rightarrow e = V_a - V_b = V_a - \beta V_o$.

Ainsi :

$$V_b = \mu V_a - \mu \beta V_o$$

$$\Leftrightarrow V_b = \frac{\mu}{1 + \mu \beta} V_a$$

$$\Rightarrow G = \frac{V_o}{V_a} = \frac{\mu}{1 + \mu \beta}; \text{ avec } \mu \gg 1: \boxed{G \approx \frac{1}{\beta}}$$

Il faut donc choisir $\beta = 0,01$.

Ainsi :

$$I_a = \frac{V_a}{R_o} (1 - \beta G)$$

d'où :

$$R_{in} = \frac{R_o}{1 - \beta G} = \frac{1 + \mu \beta}{1 + \mu \beta - \mu \beta} R_o$$

$$\Rightarrow \boxed{R_{in} = (1 + \mu \beta) R_o}$$

A.N. :

$$R_{in} \approx 10^3 R_o = 10^9 \Omega \gg R_o$$

La rétroaction renforce le caractère idéal de l'enveloppe de l'amplificateur (impédance d'entrée très grande).

q3- lorsque $I_o \neq 0$, on observe une chute de tension sur l'entrée de l'amplificateur (cf. $T \rightarrow 1 \rightarrow$ générateur on note de l'amplificateur (cf. $T \rightarrow 1 \rightarrow$ générateur connecté à $R_o \approx R$ intérieur du générateur). On :

$$\left\{ \begin{array}{l} V_b = \mu e - R_o I_o \\ e = V_a - V_b = V_a - \beta V_o \end{array} \right.$$

$$\text{Donc : } V_b = \frac{\mu V_a}{1 + \mu \beta} - \frac{R_o}{1 + \mu \beta} I_o$$

$$\text{Ainsi : } V_b = V_o - \frac{R_o}{1 + \mu \beta} I_o \Rightarrow \boxed{T_{out} = \frac{R_o}{1 + \mu \beta}}$$

$$\text{A.N. : } T_{out} \approx 10^{-2} \Omega \ll R_o.$$

que Amélioration de la résistance de sortie d'un facteur 10

q2- On donne $R_{in} = \left(\frac{V_a}{I_a} \right)_{I_a=0}$. On :

$$\left\{ \begin{array}{l} I_a = \frac{e}{R_o} \\ e = V_a - \beta V_o = V_a (1 - \beta G) \end{array} \right.$$

$$\Rightarrow \boxed{R_{in} = \frac{V_a}{1 - \beta G}}$$

Ainsi :

$$R_{in} = \frac{V_a}{1 - \beta G} = \frac{1 + \mu \beta}{1 + \mu \beta - \mu \beta} R_o$$

On retrouve q3